

Savjetovanje 7: Obnova Zagreba nakon potresa  
**Zagrebu od Osijeka**

## **Tradicijske zemljane kuće u potresno aktivnim područjima**

Doc. dr. sc. Ivan Kraus

[ikraus@gfos.hr](mailto:ikraus@gfos.hr)

Građevinski i arhitektonski fakultet Osijek  
Sveučilište Josipa Jurja Strossmayera u Osijeku

22. 2. 2021.

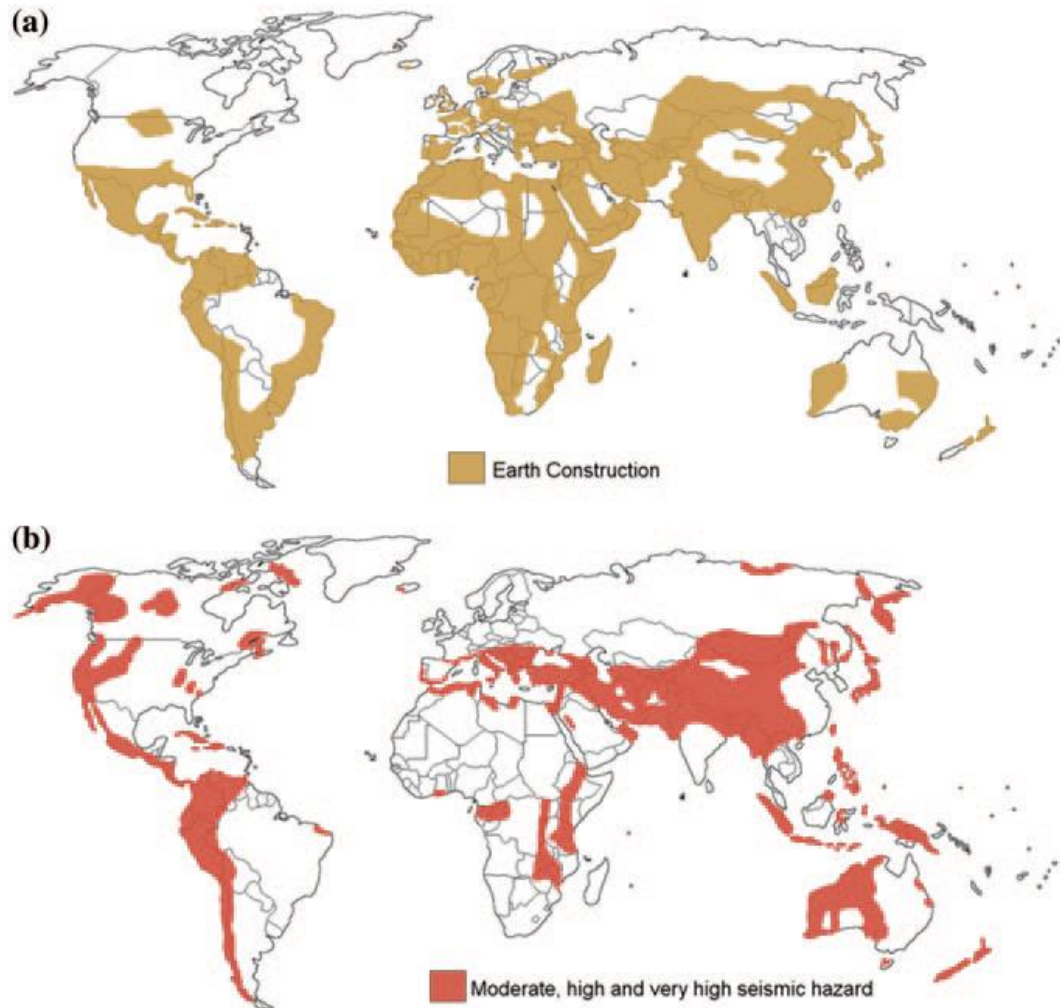


# Sadržaj

- 1 Zemljana arhitektura u potresno aktivnim područjima
- 2 Rezultati eksperimentalnih ispitivanja
- 3 Potresna područja Republike Hrvatske
- 4 Zemljana arhitektura u Hrvatskoj
- 5 Aktualne norme, mogućnosti i Strategija
- 6 Numeričke simulacije primjenom programa ANSYS
- 7 Umjesto zaključka

Korištena literatura

# Zemljana arhitektura u potresno aktivnim područjima



(Silva i sur., 2014.)

Zemljane građevine je moguće pronaći u nerazvijenim zemljama trećeg svijeta, ali i u visoko razvijenim zemljama.

Rješavaju pitanje stanovanja za preko 30 % svjetske populacije.

Pojavljuju se često na lokacijama s izraženom potresnom aktivnošću (npr. Japan, Kalifornija, Italija, Balkanski poluotok).

# Zemljana arhitektura u potresno aktivnim područjima



(Wang i sur., 2017.)

Karakteristična oštećenja u postojećim građevinama od nabijene zemlje:

- a) potpuni slom konstrukcije,
- b) ispadanje zabatnog zida,
- c) ispadanje uzdužnog zida,
- d) vertikalne pukotine u blizini uglova
- e) vertikalne pukotine koje nastaju na mjestima unosa opterećenja

# Zemljana arhitektura u potresno aktivnim područjima

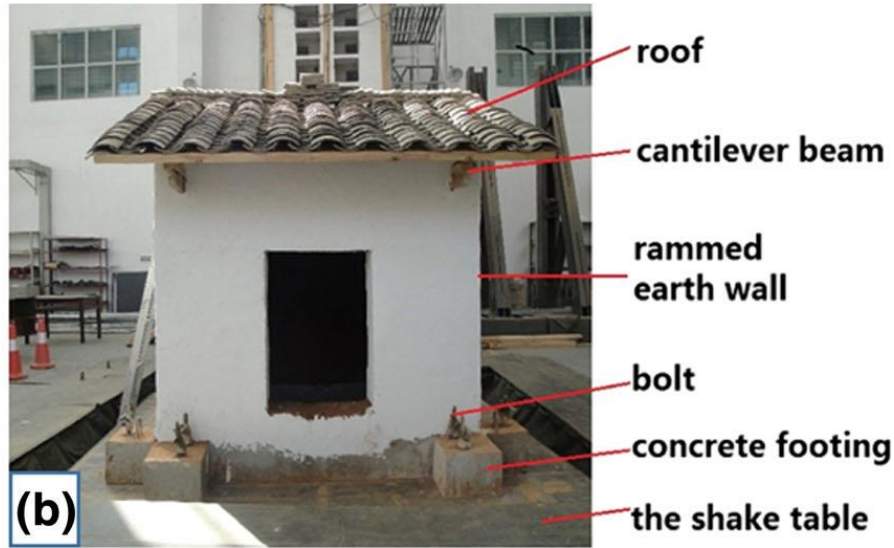
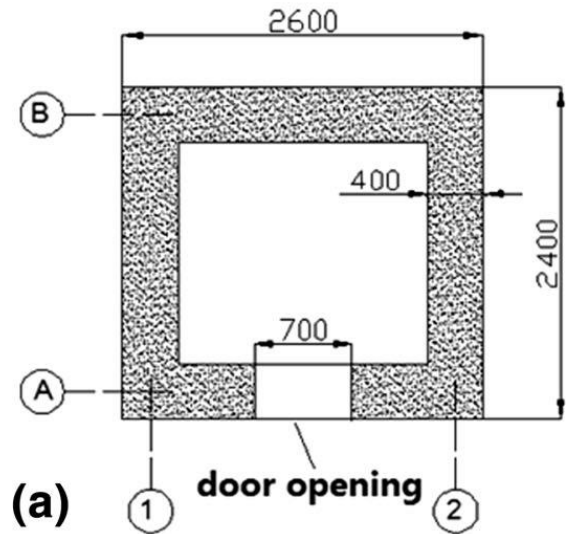
Zemljin Kriptonit, u pogledu građevinskog materijala za nosive zidove u potresnim područjima, su njena relativno velika masa, mala krutost i niska čvrstoća.

Nabijena zemlja ima gotovo 20 puta manju čvrstoću od betona ili opeke.

# Rezultati eksperimentalnih ispitivanja (1)

Model je ispitivan radi uvida u potresno ponašanje i moguće oblike sloma.

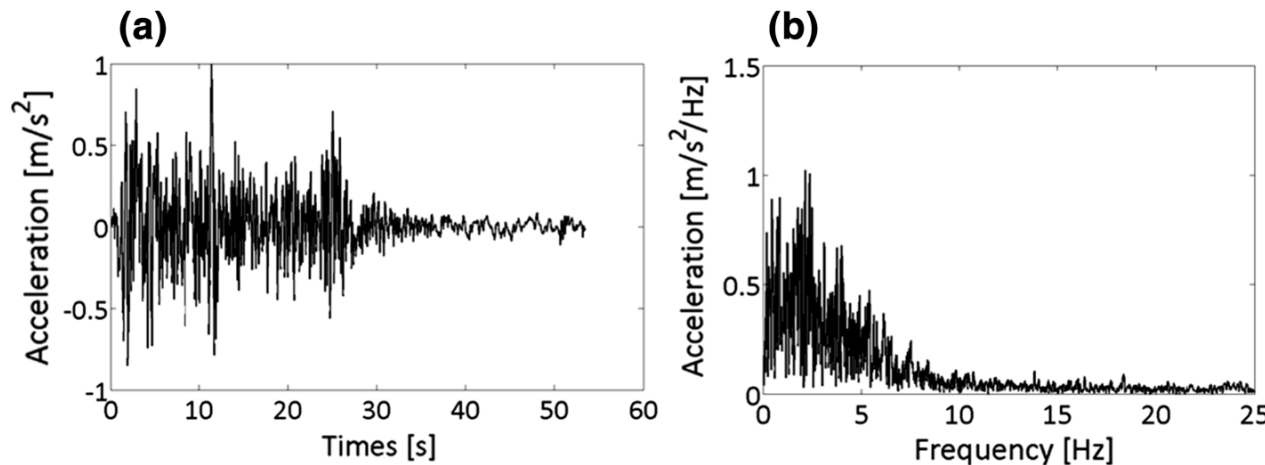
Model kuće je pobuđivan simuliranim potresnim opterećenjem uz postupno povećanje intenziteta (0,1 g, 0,22 g, 0,4 g te 0,51 g)



(Wang i sur., 2017.)

# Rezultati eksperimentalnih ispitivanja (1)

Horizontalno opterećenje je simulirano primjenom potresne platforme i zapisa El Centro 1940.

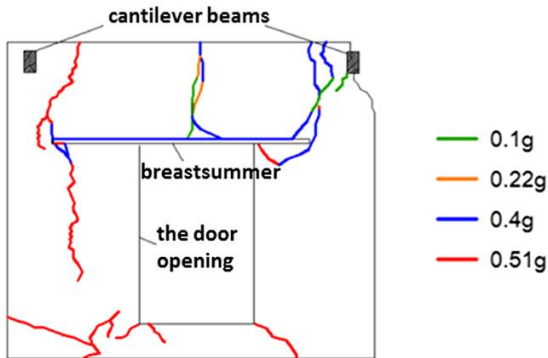
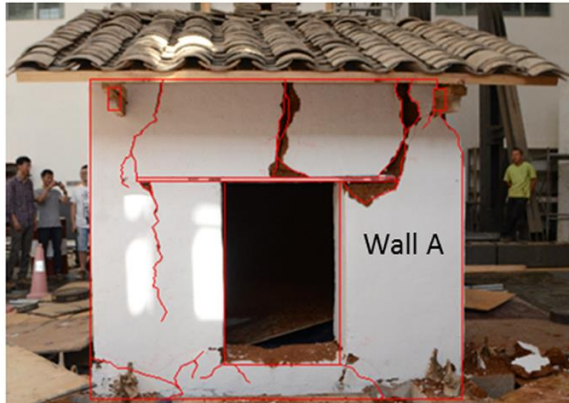


(Wang i sur., 2017.)

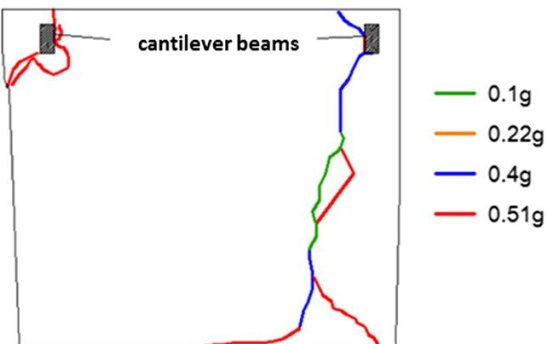
Bijelim šumom se model pobuđivao istovremeno u X i Y smjeru. Simuliranim zapisom potresa model je uvijek prvo pobuđen u X smjeru pa potom u Y smjeru.

# Rezultati eksperimentalnih ispitivanja (1)

(a)



(b)



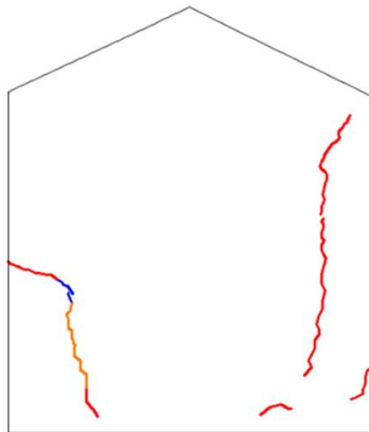
(Wang i sur., 2017.)

Oštećenje modela je uočeno već pri ubrzanju platforme od 0,1 g i to pri djelovanju potresa u smjeru okomito na zidove (en. wall) A i B

Prve pukotine su se pojavile iznad drvenog nadvoja, što se pripisuje širenju ranijih pukotina nastalih prilikom sušenja

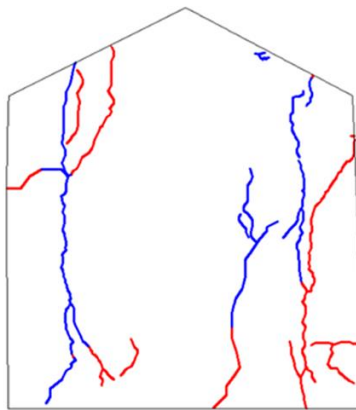
# Rezultati eksperimentalnih ispitivanja (1)

(c)



- 0.1g
- 0.22g
- 0.4g
- 0.51g

(d)



- 0.1g
- 0.22g
- 0.4g
- 0.51g

(Wang i sur., 2017.)

Pri djelovanju simuliranog potresa s najvećim ubrzanjem od 0,51 g javljaju se izražene vertikalne pukotine, veći segmenti zida se odvajaju i padaju na platformu.

# Rezultati eksperimentalnih ispitivanja (1)

Osnovni period vibriranja modela kuće je određen primjenom bijelog šuma.

| Faza ispitivanja                    | f (Hz) | T (s) | $\xi$ (%) |
|-------------------------------------|--------|-------|-----------|
| Prije pobude zapisom El Centro 1940 | 8,79   | 0,114 | 9,81      |
| Nakon pobude s $a_{g\max} = 0,10$ g | 8,79   | 0,114 | 9,81      |
| Nakon pobude s $a_{g\max} = 0,22$ g | 7,32   | 0,137 | 10,95     |
| Nakon pobude s $a_{g\max} = 0,40$ g | 4,88   | 0,205 | 12,92     |
| Nakon pobude s $a_{g\max} = 0,51$ g | N/A    | N/A   | 13,56     |

Povećanje perioda i prigušenja je uzrokovano progresivnim razvojem pukotina i posljedičnim smanjenjem krutosti.

Prigušenje određeno na neoštećenom modelu (elastično područje):

9,81 %

# Rezultati eksperimentalnih ispitivanja (1)

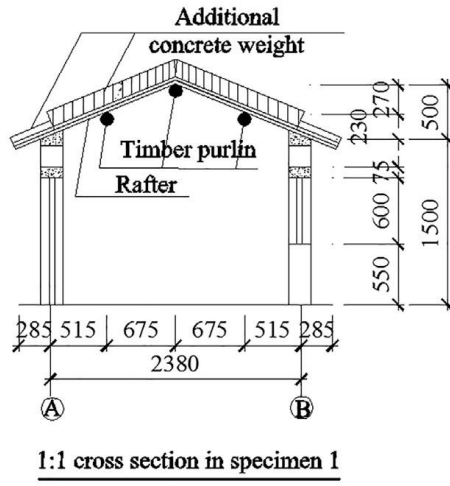
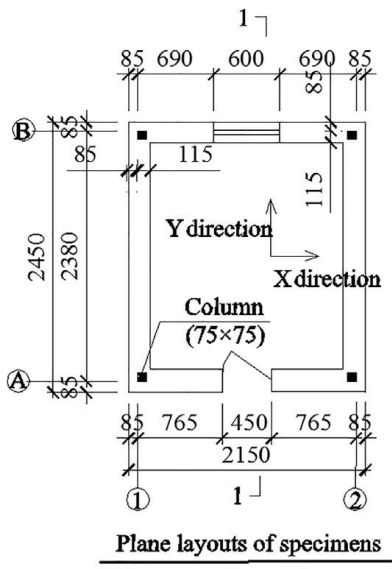
Procjena potresne otpornosti modela kuće ispitane na potesnom stolu je napravljena u skladu s *Potresnim tehničkim specifikacijama za građenje konstrukcija u gradovima i naseljima\**, koje izdaje Ministarstvo stanovanja i urbano-ruralnog razvoja Narodne Republike Kine:

\*JGJ161 (2008) Seismic technical specification for building construction in town and village, Issued by Ministry of housing and urban–rural development of the People’s Republic of China

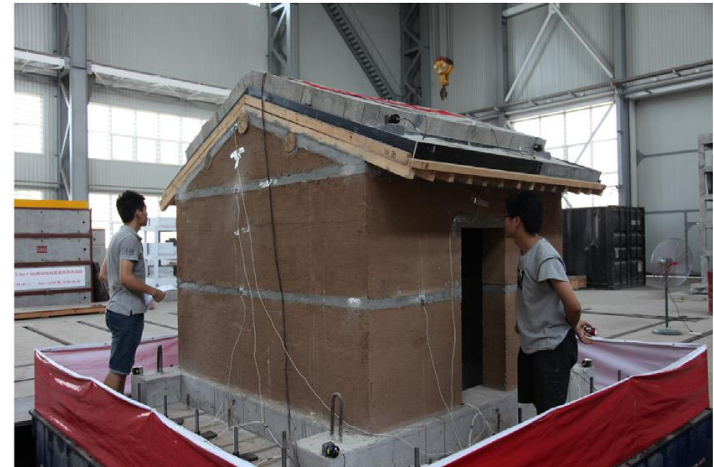
# Rezultati eksperimentalnih ispitivanja (2)

Model tradicijske zemljane kuće (mjerilo 1:2) ispitana na potresnom stolu.

Ispitivanje je provedeno u laboratoriju Sveučilište za arhitekturu i tehniku u Xi'an,  
Narodna republika Kina.



(Zhou i Liu, 2019.)

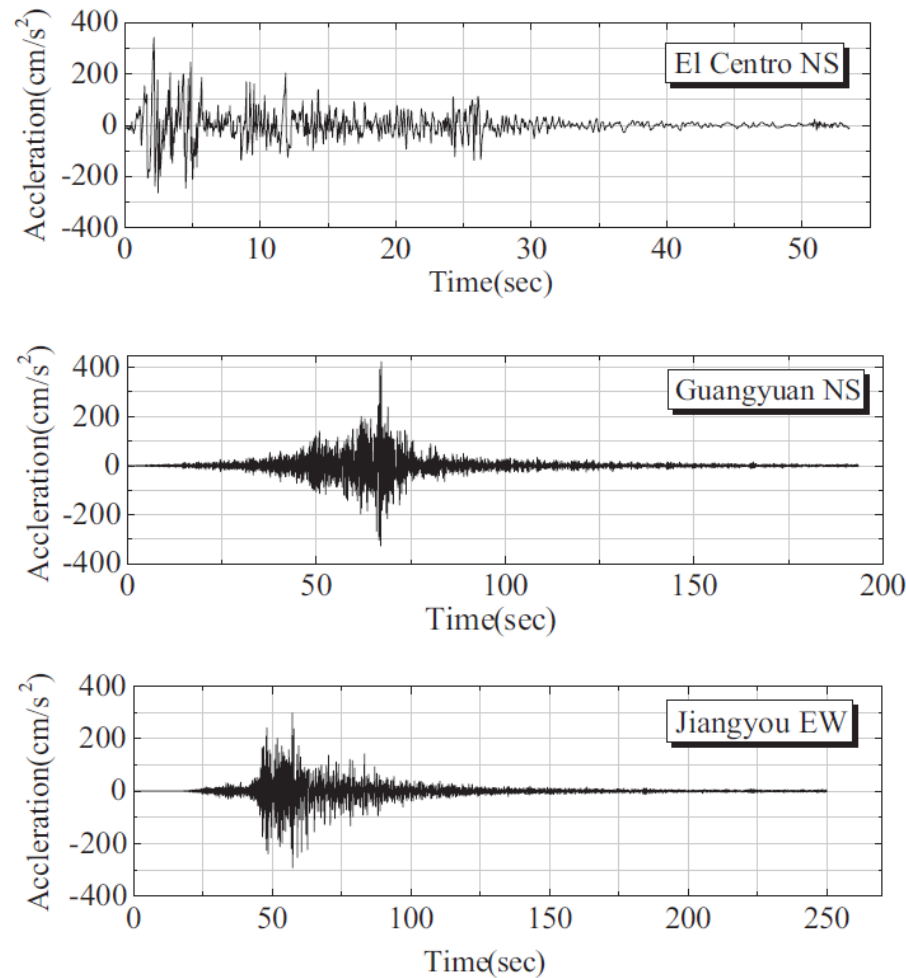


(Zhou i Liu, 2019.)

# Rezultati eksperimentalnih ispitivanja (2)

Model kuće je pobuđivan simuliranim potresnim opterećenjem uz postupno povećanje intenziteta (0,05 g, 0,1 g, 0,2 g, 0,3 g te 0,4 g, 0,55 g te 0,7 g).

Korištena su tri različita zapisa potresa.



(Zhou i Liu, 2019.)

## Rezultati eksperimentalnih ispitivanja (2)

Osnovni period vibriranja modela kuće je određen primjenom bijelog šuma.

| Smjer | f (Hz) | T (s) |
|-------|--------|-------|
| X     | 10,74  | 0,093 |
| Y     | 17,77  | 0,056 |

S povećanjem ubrzanja oštećenje modela je izraženije.

Najizraženiji pad krutosti je uočen pri djelovanju potresa s ubrzanjem od 0,2 g, pri čemu je krutost modela smanjena za oko 25 %.

# Rezultati eksperimentalnih ispitivanja (2)



--- 0,05 g --- 0,1 g --- 0,2 g --- 0,3 g --- 0,4 g --- 0,55 g --- 0,7 g

(Zhou i Liu, 2019.)

Pri 0,05 g pojava mikropukotina.

Pri 0,1 g horizontalne pukotine oko otvora.

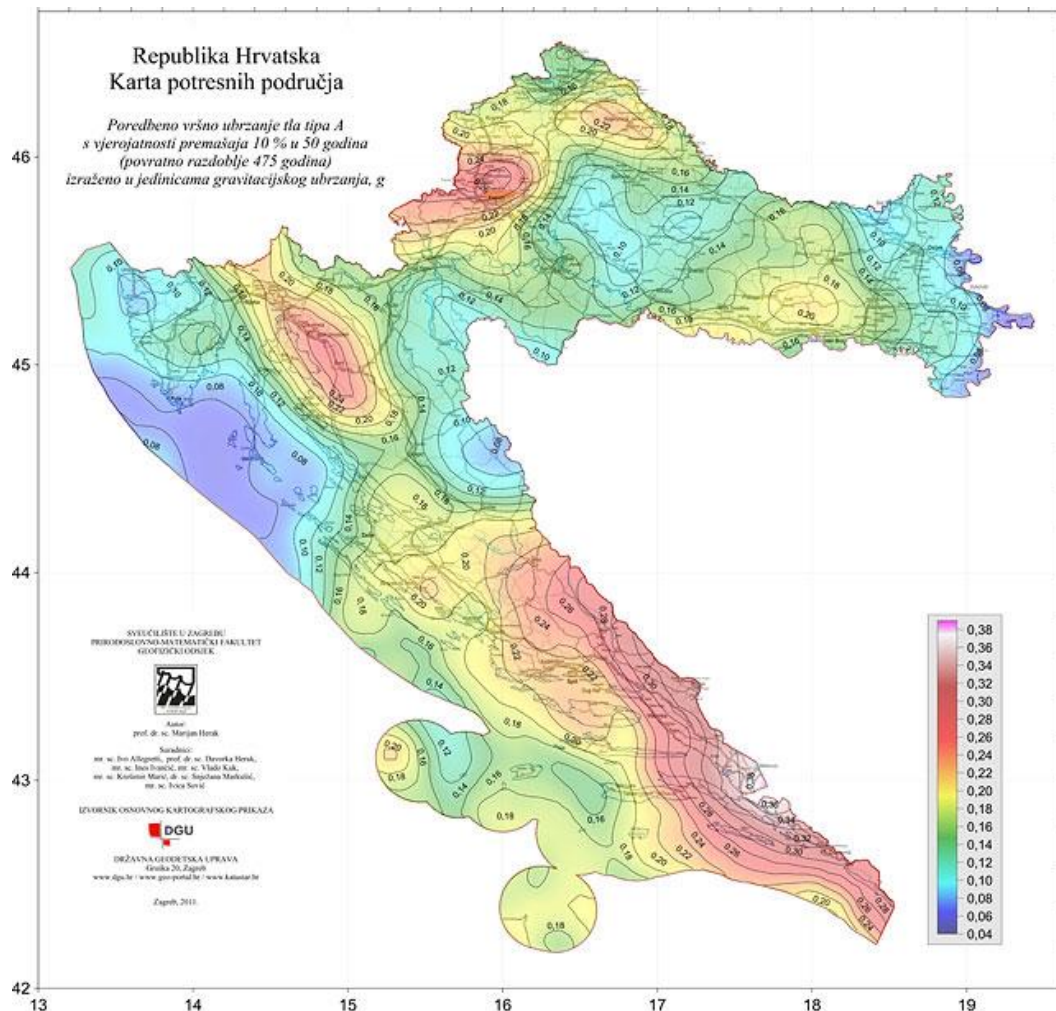
Pri 0,2 g pojava mikropukotina na donjem rubu zabatnog zida

Pri 0,3 pojava vertikalnih pukotina.

Pri 0,4 g širina pukotina oko otvora iznosi 1,5 mm.

Pri većim ubrzanjima izraženiji razvoj i širenje pukotina.

# Potresna područja Republike Hrvatske



Karte potresnih područja Republike Hrvatske  
(<http://seizkarta.gfz.hr/karta.php>)

Karte s tumačem (Dodatak C) su sastavni dio Nacionalnog dodatka za niz normi HRN EN 1998 (Eurokod 8: Projektiranje potresne otpornosti konstrukcija).

Zemljana arhitektura je česta na lokacijama s očekivanim horizontalnim vršnim ubrzanjem temeljnog tla između 0,08 i 0,20 g (u kontekstu povratnog razdoblja od 475 godina).

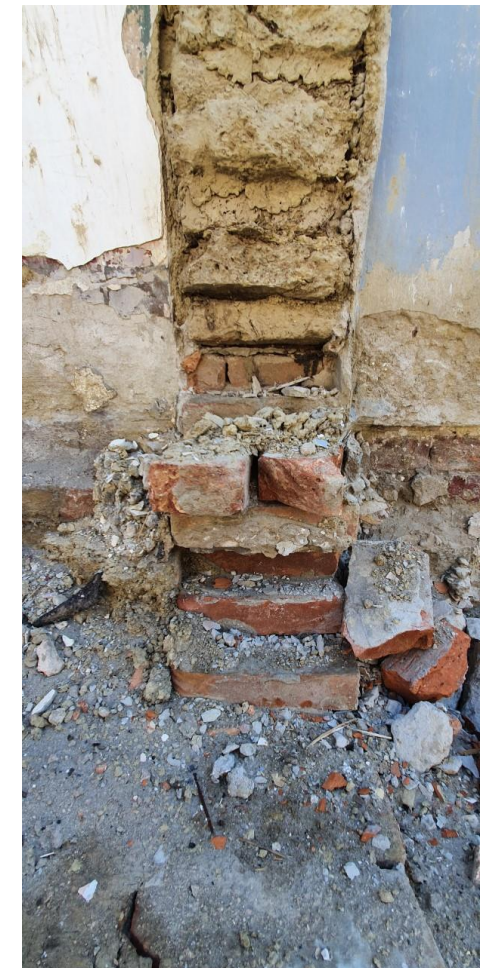
# Zemljana arhitektura u Hrvatskoj

Unutarnji zid kuće u centru Osijeka (Ul. Ivana Gundulića).

Zid debljine približno 25 cm.



(autorska fotografija)



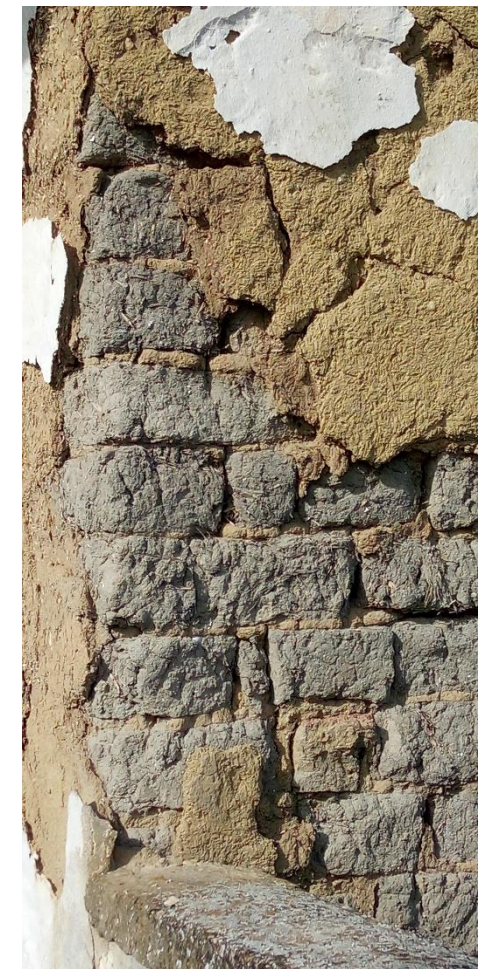
(autorska fotografija)

# Zemljana arhitektura u Hrvatskoj

Pročelje izrađeno od nepećene opeke (Lug/Laskó, Bilje)



(autorska fotografija)



(autorska fotografija)

# Zemljana arhitektura u Hrvatskoj

Vanjski zid gospodarske građevine u Aljmašu (Rudina Balinac).

Gornja polovica zida je izrađena od nabijene zemlje. Donja polovica zida je izrađena od opeke.



(autorska fotografija)



(autorska fotografija)

# Zemljana arhitektura u Hrvatskoj

Stropna konstrukcija i pročelje kuće u naselju

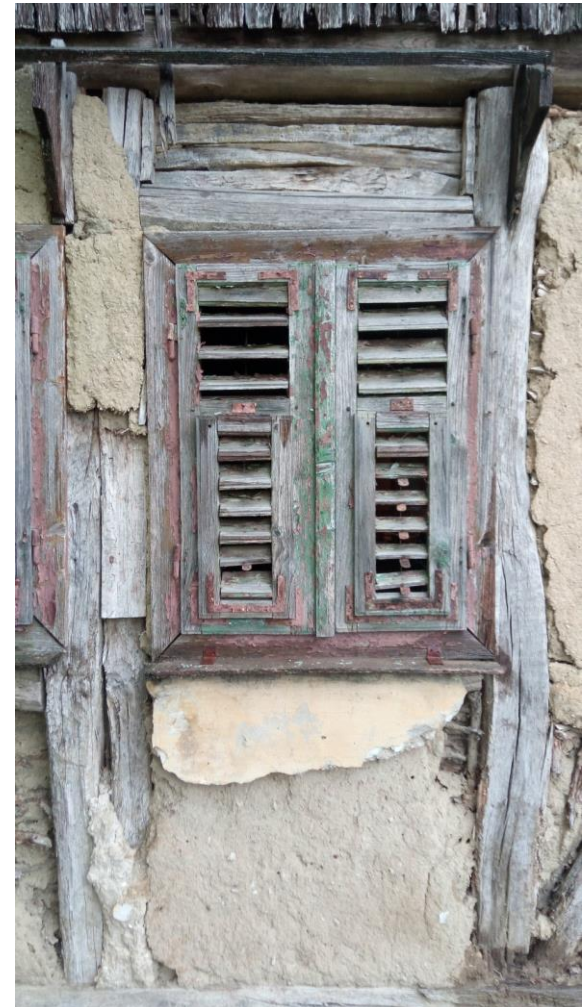
Dopsin, dan prije rušenja.



(autorska fotografija)



(autorska fotografija)



(autorska fotografija)

# Zemljana arhitektura u Hrvatskoj

Osnovni konstrukcijski sustavi:

- Zidovi od čerpiča (nepečene opeke).
- Kanatne (skeletne, bondručne) konstrukcije
- Konstrukcije od nabijene zemlje**

Ispun kanatnih zidova:

- Pleter od pruća obložen zemljom
- Ispun od čerpiča
- Ispun od nabijene zemlje



(autorska fotografija)



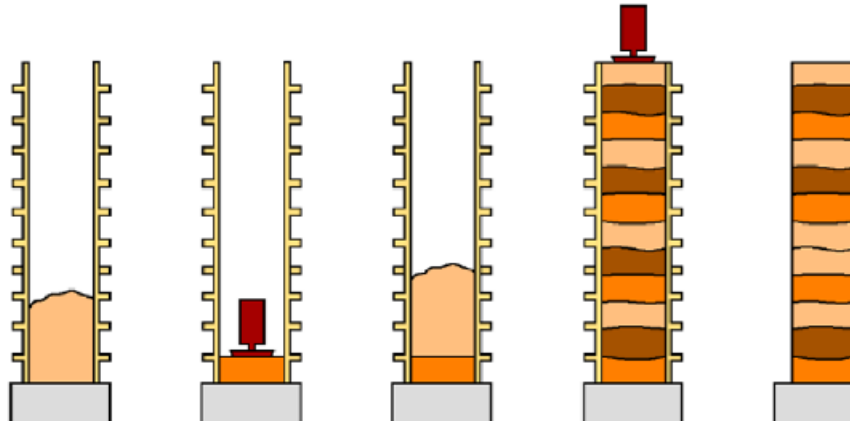
(autorska fotografija)

# Zemljana arhitektura u Hrvatskoj

## Konstrukcije od nabijene zemlje

Smjesa se ugrađivala u segmentima debljine 10 - 15 cm, pri čemu se svaki novi segment ugrađivao nakon sušenja prethodnog segmenta (Lončar-Vicković i Stober, 2011).

Zid se izrađuje nabijanjem sloja zemlje nasutog u oplatu izrađenu od drveta ili metala, ručnim ili, u današnje vrijeme češće, pneumatskim nabijačima.

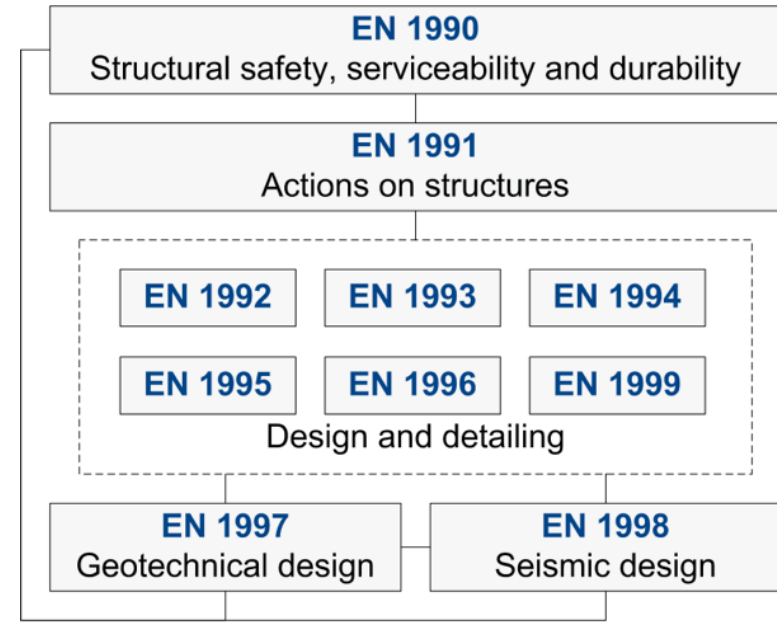


(Perić, 2020)

# Aktualne norme, mogućnosti i Strategija

Budući da je Hrvatska smještena u području s izraženom potresnom aktivnošću, projektiranje i sanacija konstrukcija građevina mora se provoditi u skladu s nizom normi HRN EN 1998.

**No, ove norme ne prepoznaju konstrukcijske elemente građevina izrađene od nabijene zemlje.**



## Links between the Eurocodes

<http://eurocodes.jrc.ec.europa.eu>

**SAD, Australija i Novi Zeland** imaju norme i/ili preporuke za građenja kuća od zemlje, koje su u skladu s drugim važećim nacionalnim normama (Silva i sur., 2014; Tripura i Singh, 2015).

U nedostatku normi za projektiranje zemljanih kuća, koriste se **norme za zidane konstrukcije** (Tripura i Singh, 2015).

# Aktualne norme, mogućnosti i Strategija

Strategija zaštite, očuvanja i održivog gospodarskog korištenja kulturne baštine Republike Hrvatske, koju je dalo izraditi Ministarstvo kulture Republike Hrvatske, **stavlja graditeljsku baštinu u važan dio kulturnog fonda, a njenu zaštitu i očuvanje obaveznima prema zakonskim odredbama.**

Kao neke od **problema** vezanih za graditeljsku baštinu Strategija navodi:

- i) nedovoljni **stručni kapacitet** za izradu konzervatorskih studija i podloga;
- ii) nedovoljno razrađenu **metodologiju** i postupke za izradu konzervatorske i tehničke dokumentacije za obnovu te
- iii) skromnu **promociju** vrijednosti kulturne baštine.

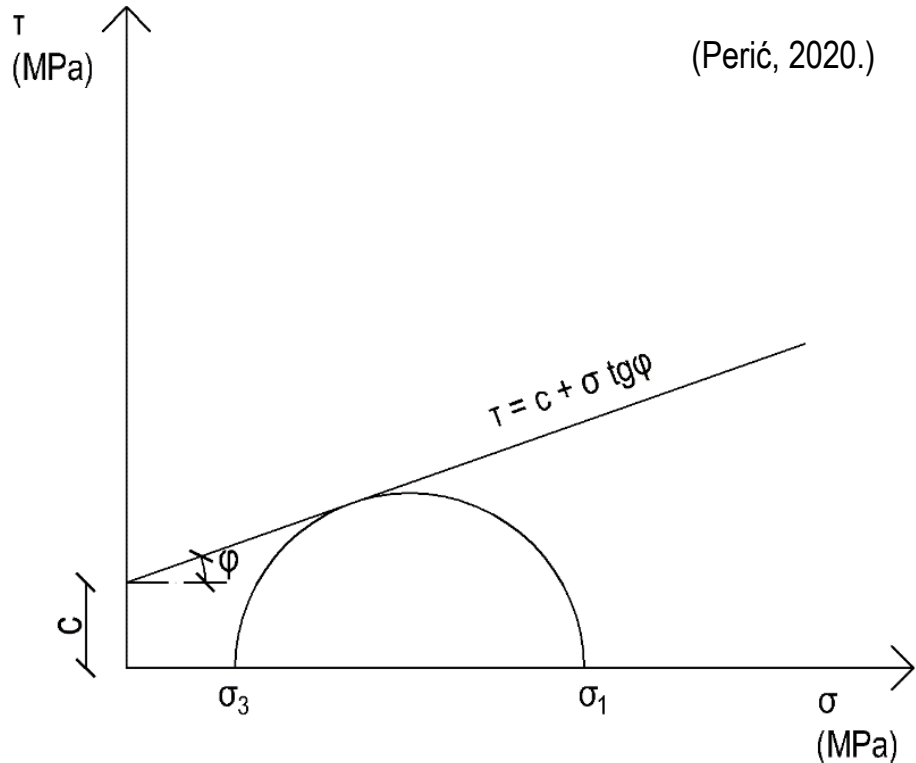
# Numeričke simulacije primjenom programa ANSYS

Ponašanje materijala je definirano primjenom Mohr-Coulombovog modela.

$$\tau = c + \sigma \cdot \operatorname{tg}\varphi$$

gdje je:

- $\tau$  posmična čvrstoća
- $c$  kohezija
- $\sigma$  normalno naprezanje
- $\varphi$  kut unutarnjeg trenja



Čvrstoća tla definirana pomoću dva parametara, kohezije i kuta unutarnjeg trenja tla, koji ovise o vrsti materijala, mineraloškom i granulometrijskom sastavu te omjeru pora.

# Numeričke simulacije primjenom programa ANSYS

| Izvor                            | w (%) | d (kg/m <sup>3</sup> ) | E (MPa) | v (-) | f <sub>c</sub> (MPa) | f <sub>t</sub> (MPa) | f <sub>s</sub> (MPa) | c (MPa) | φ (°) |
|----------------------------------|-------|------------------------|---------|-------|----------------------|----------------------|----------------------|---------|-------|
| Bui i sur., 2014.                | -     | 1920                   | 500     | 0,22  | 1,22                 | 0,122                | 0,18                 | 0,1708  | 51    |
|                                  |       |                        |         |       | 1,9                  |                      |                      |         |       |
|                                  |       |                        |         |       | 1,3                  |                      |                      |         |       |
| Bui i sur., 2009.                | -     | 1950                   | 470     | 0,15  | 1                    | 0,0325               | -                    | -       | -     |
|                                  | -     | 1980                   | 465     |       |                      |                      |                      |         |       |
|                                  | 2,5   | 1950                   | 470     |       |                      |                      |                      |         |       |
|                                  | 4     | 1980                   | 460     |       |                      |                      |                      |         |       |
|                                  | 7     | 2030                   | 440     |       |                      |                      |                      |         |       |
| Bui, Limam i Bui, 2018.          | -     | 2000                   | 470     | 0,22  | 1,9                  | -                    | -                    | -       | -     |
| Bui i sur., 2019.                | -     | 2300                   | 400     | 0,22  | 2                    | 0,13                 | -                    | 0,033   | 30    |
|                                  |       |                        |         |       |                      |                      |                      | 0,26    | 45    |
| Silva i sur., 2014.              | -     | -                      | 1034    | 0,27  | 1,26                 | 0,126                | 0,15                 | -       | -     |
| Miccoli, Drougas i Müller, 2016. |       | 2190                   | 4143    | 0,27  | 3,73                 | -                    | 0,7                  | -       | -     |
| Bui i sur., 2016.                | -     | 1950                   | 470     | 0,22  | 1                    | 0,1                  | -                    | 0,1     | 45    |
|                                  |       |                        |         | 500   | -                    | 1,3                  |                      | 0,13    | -     |
| Bui, Bui i Limam, 2016.          | -     | 2000                   | 470     | 0,22  | 1,9                  | 1,33                 | -                    | 1,33    | 45    |
| Bui i sur., 2014.                | -     | -                      | 520     | -     | 0,8                  | -                    | -                    | -       | -     |
|                                  | 2     |                        |         | 950   | 0,22                 |                      |                      |         |       |
|                                  | 4     |                        |         | 950   | 0,23                 |                      |                      |         |       |
|                                  | 5     |                        |         | 925   | 0,25                 |                      |                      |         |       |
|                                  | 6     |                        |         | 900   | 0,26                 |                      |                      |         |       |
|                                  | 7     |                        |         | 800   | 0,3                  |                      |                      |         |       |
|                                  | 8     |                        |         | 700   | 0,3                  |                      |                      |         |       |
|                                  | 9     |                        |         | 500   | 0,35                 |                      |                      |         |       |
|                                  | 10    |                        |         | 425   | 0,37                 |                      |                      |         |       |
|                                  | 11    |                        |         | 400   | 0,38                 |                      |                      |         |       |
| Gomes, Lopes i De Brito, 2011.   |       | 1900                   | 200     | 0,35  | 0,67                 | 0,13                 | 0,08                 | -       | -     |
| El-Nabouch i sur., 2018.         | 2,5   | -                      | -       | -     | 1,1                  | -                    | -                    | 0,0309  | 37,3  |
| Srednja vrijednost:              | 6     | 2021                   | 732     | 0,27  | 1,42                 | 0,26                 | 0,28                 | 0,29    | 43    |
| Najmanja vrijednost:             | 2     | 1900                   | 200     | 0,15  | 0,45                 | 0,03                 | 0,08                 | 0,03    | 30    |
| Najveća vrijednost:              | 11    | 2300                   | 4143    | 0,38  | 3,73                 | 1,33                 | 0,7                  | 1,33    | 51    |

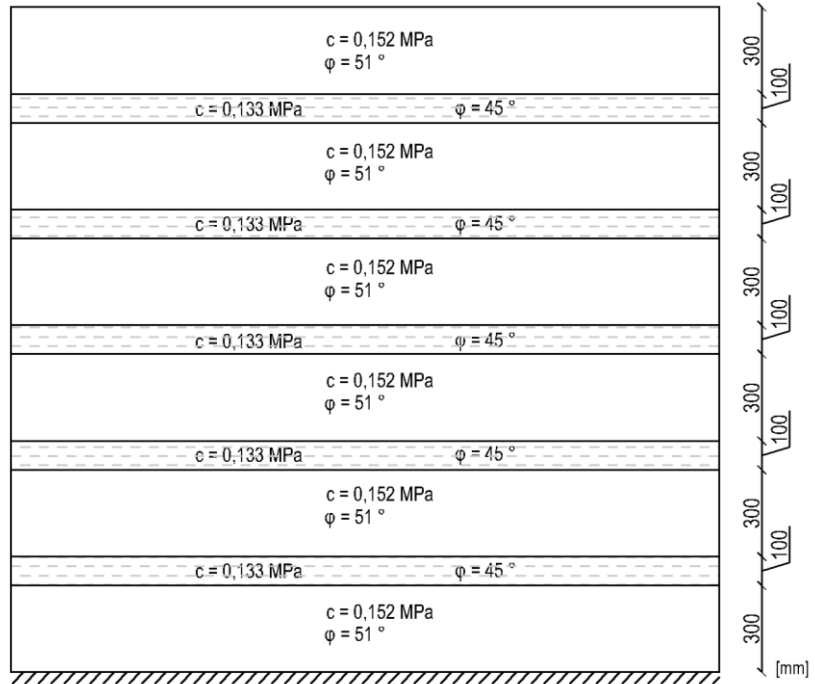
(Perić, 2020.)

# Numeričke simulacije primjenom programa ANSYS

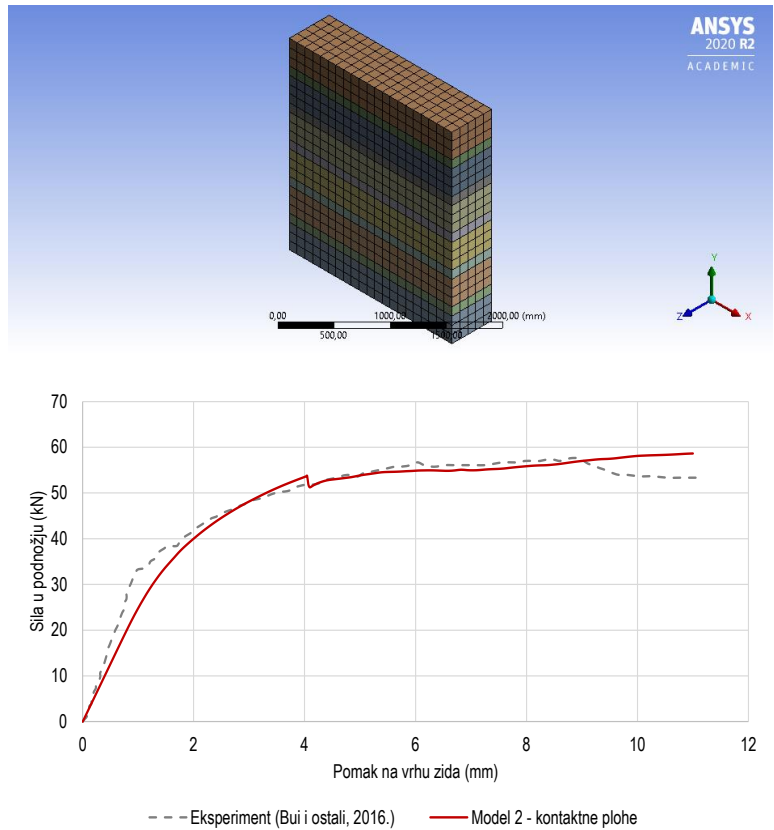
## model 1: zid 50 x 2450 x 2300 cm (Perić, 2020)

Monotno rastuće opterećenje.

Primjena metode postupnog guranja.



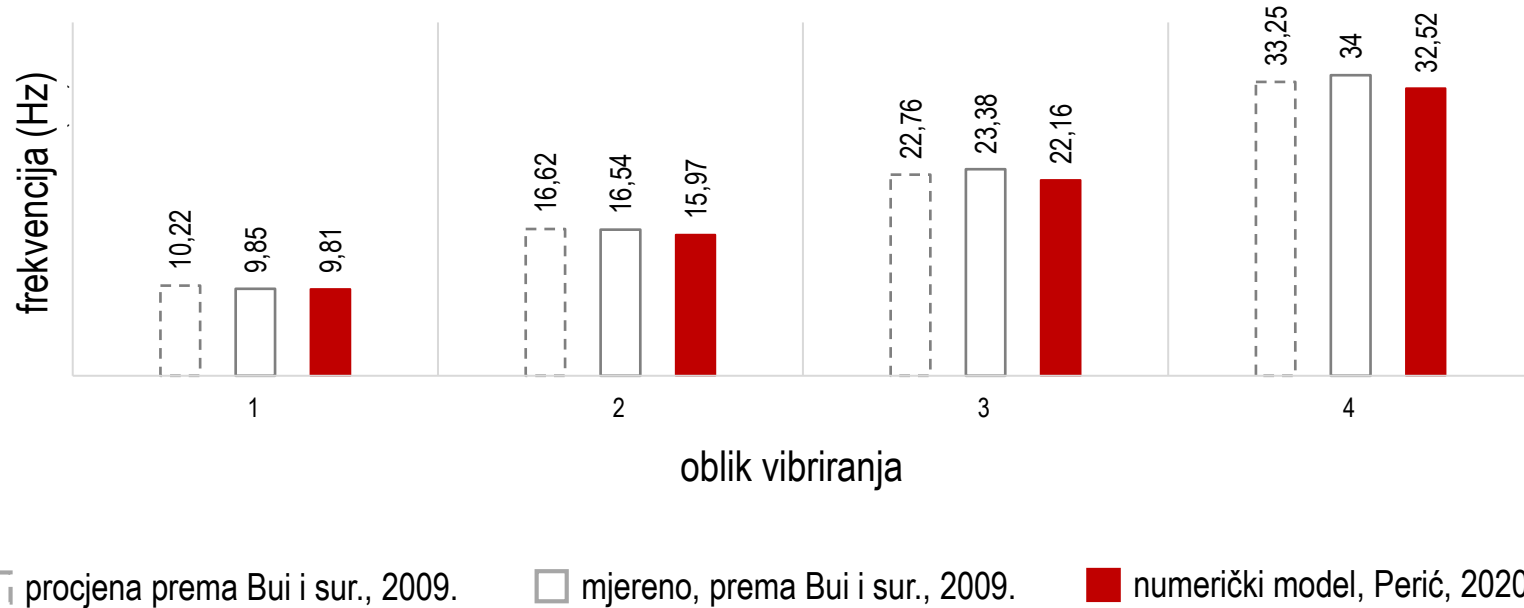
Slojevi nabijene zemlje i kontaktne plohe



Usporedba ponašanja numeričkog modela i eksperimentalno ispitanih modela

# Numeričke simulacije primjenom programa ANSYS

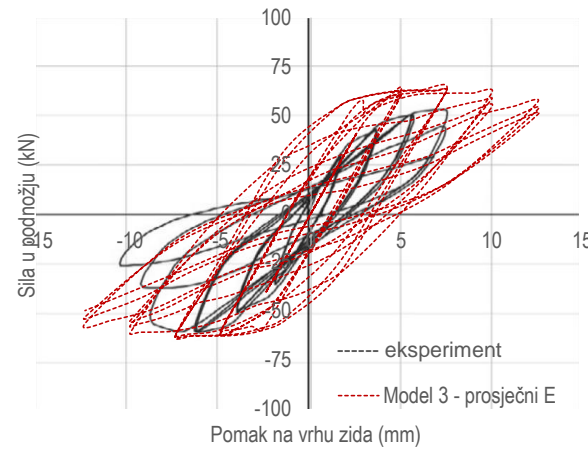
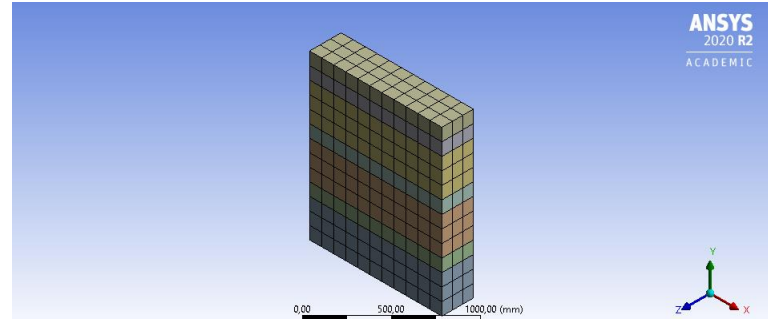
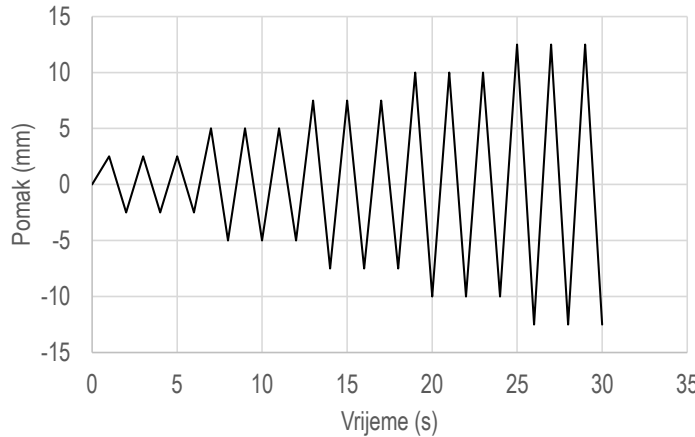
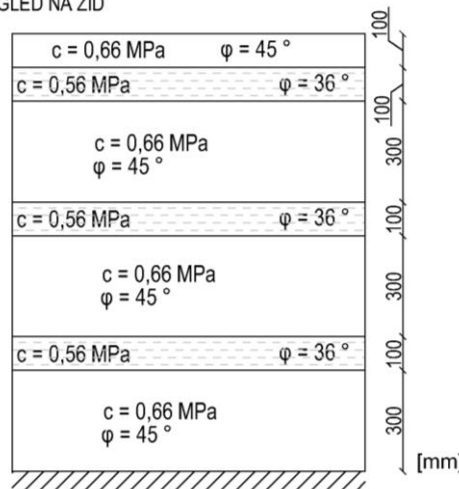
## model 1: zid 50 x 2450 x 2300 cm (Perić, 2020)



# Numeričke simulacije primjenom programa ANSYS

## model 2: zid 25 x 1050 x 1300 cm (Perić, 2020)

POGLED NA ZID

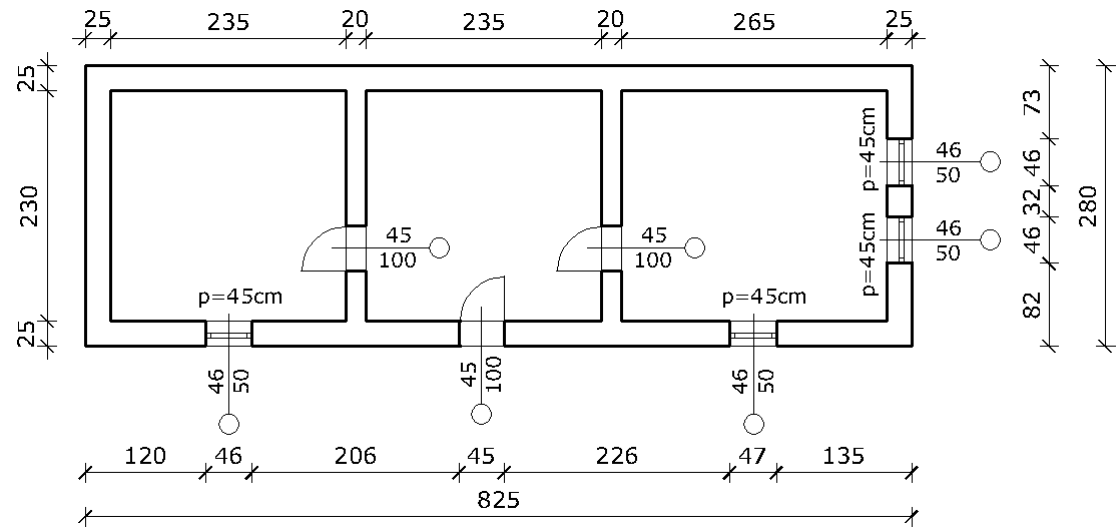
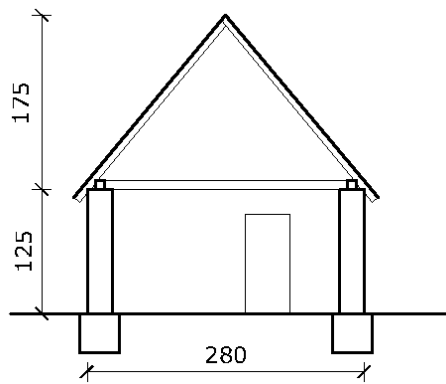


Usporedba ponašanja numeričkog modela i eksperimentalno ispitanih rezultata

# Umjesto zaključka

Rezultati istraživanja provedenih na tradicijskoj zemljanoj kući Slavonije i Baranje bit će predstavljeni na 1st Croatian Conference on Earthquake Engineering (1CroCEE)

22.-24. ožujka 2021. godine.



## Korištena literatura (1/2)

ANSYS Inc. (2019) „ANSYS Academic Research Mechanical, Release 2019 R3, Help System, Coupled Field Analysis Guide“

Bui, Q.-B. i sur. (2019) „Assessing the seismic behavior of Rammed earth walls with an L-Form cross-section“, Sustainability (Switzerland), 11(5). doi: 10.3390/su11051296

Bui, Q.-B. i sur. (2009) „Compression behaviour of non-industrial materials in civil engineering by three scale experiments: The case of rammed earth“, Materials and Structures/Materiaux et Constructions, 42(8), str. 1101–1116. doi: 10.1617/s11527-008-9446-y.

Bui, T.-T. i sur. (2016) „Modeling rammed earth wall using discrete element method“, Continuum Mechanics and Thermodynamics, 28(1–2), str. 523–538. doi: 10.1007/s00161-015-0460-3.

El-Nabouh, R. i sur. (2017) „Assessing the in-plane seismic performance of rammed earth walls by using horizontal loading tests“, Engineering Structures. Elsevier Ltd, 145, str. 153–161. doi: 10.1016/j.engstruct.2017.05.027.

Lončar-Vicković, S. i Stober, D. (2011) „Tradicijnska kuća Slavonije i Baranje“. Ministarstvo turizma Republike Hrvatske; Sveučilište Josipa Jurja Strossmayera u Osijeku, Građevinski fakultet Osijek, str. 1–116.

Miccoli, L., Drougkas, A., Mueller, U. (2016). In-plane behaviour of rammed earth under cyclic loading: Experimental testing and finite element modelling. Engineering Structures. 125. 144–152. 10.1016/j.engstruct.2016.07.010.

Perić, A. (2020) 'Potresno ponašanje zidova tradicijskih kuća o nabijene zemlje', diplomski rad, diplomski, Građevinski i arhitektonski fakultet Osijek, Osijek.

## Korištena literatura (2/2)

Silva R.A., Jaquin P., Oliveira D.V., Miranda T.F., Schueremans L., Cristelo N. (2014) Conservation and New Construction Solutions in Rammed Earth. In: Costa A., Guedes J., Varum H. (eds) Structural Rehabilitation of Old Buildings. Building Pathology and Rehabilitation, vol 2. Springer, Berlin, Heidelberg. [https://doi.org/10.1007/978-3-642-39686-1\\_3](https://doi.org/10.1007/978-3-642-39686-1_3)

Tripura, D. D. and Singh, K. D. (2015) 'Axial load-capacity of rectangular cement stabilized rammed earth column', Engineering Structures, 99, pp. 402–412. doi: 10.1016/j.engstruct.2015.05.014.

Wang, Y., Wang, M., Liu, K. et al. Shaking table tests on seismic retrofitting of rammed-earth structures. Bull Earthquake Eng 15, 1037–1055 (2017). <https://doi.org/10.1007/s10518-016-9996-2>

Zhou, T., Liu, B. (2019). Experimental study on the shaking table tests of a modern inner-reinforced rammed earth structure. Construction and Building Materials. 203. 567-578. 10.1016/j.conbuildmat.2019.01.070

# Pitanja?

Doc. dr. sc. Ivan Kraus

[ikraus@gfos.hr](mailto:ikraus@gfos.hr)



Ovaj webinar je rezultat aktivnosti provedenih u okviru projekta „Nabijena zemlja za modeliranje i normizaciju u potresno aktivnim područjima“ (UIP-2020-02-7363), koji sufinancira Hrvatska zaklada za znanost.